

# Sprawdzenie słuszności zastosowania rozkładu Maxwella dla elektronów w zjawisku termoemisji oraz wyznaczenie temperatury katody

Maksymilian Nguyen

CLF, Ćwiczenie 27, 14 Marzec 2023

## Streszczenie

W ćwiczeniu użyto układu zawierającego katodę i anodę. Katodę rozgrzano aby doprowadzić do zjawiska termoemisji i zmierzono natężenia prądu dla elektronów przepływających do anody, przy różnych napięciach hamujących. Na podstawie danych pomiarowych wyznaczono temperaturę katody oraz sprawdzono słuszność zastosowania rozkładu Maxwella dla elektronów emisyjnych.

## 1. Wstęp

W odpowiednio wysokiej temperaturze niektóre elektrony osiągają wyższy stan energetyczny i uwalniają się z metalu [1]. Wykorzystując ten fakt doprowadzono do zjawiska termoemisji, nagrzewając katodę będącą w układzie wraz z anodą w lampie próżniowej. Elektrony muszą pokonać pole elektryczne wytworzone przez napięcie hamowania  $U_a$  aby dotrzeć do anody.

Wzór (1) wyraża warunek jaki muszą spełniać elektrony o energii  $E$  aby dotarły do anody:

$$E = \frac{1}{2}mv^2 \geq eU_a \quad (1)$$

Gdzie  $m$  - masa elektronu,  $v$  - jego prędkość,  $eU_a$  - jego energia potencjalna w polu o różnicy potencjałów  $U_a$ .

Ponieważ w lampie panuje próżnia elektrony nie zderzały się z cząstками powietrza. Założono także że elektrony można opisać jako swobodny gaz doskonały cząstek.

Elektrony te podlegają więc rozkładowi Maxwella [1] dla wartości prędkości który dany jest wzorem (2):

$$n(v) = N \left( \frac{a}{\pi} \right)^{\frac{3}{2}} e^{-av^2} \quad (2)$$

Gdzie  $a$  to stała,  $v$  to prędkość cząstki.

Po uwzględnieniu faktu że w temperaturze  $T$  średnia energia kinetyczna ruchu postępowego na cząstkę spełnia równość (3):

$$\frac{1}{2}mv^2 = \frac{3}{2}kT \quad (3)$$

Gdzie  $k$  to stała Boltzmanna.

Oraz zamianie rozkładu (2) z zależności od prędkości na zależność od energii, można dojść do wzoru na liczbę elektronów o energii spełniającej warunek dany wzorem (1) które przechodzą w jednostce czasu przez powierzchnię jednostkową (4)[1]:

$$\gamma(E) = N \sqrt{\frac{1}{2\pi kT}} e^{-\frac{E}{kT}} \quad (4)$$

Jako że liczba elektronów przechodzących w jednostce czasu przez jednostkę powierzchni jest proporcjonalna do natężenia prądu anodowego, można równanie (4) zapisać jako (5):

$$I_a = I_{a0} e^{-\frac{eU_a}{kT}} \quad (5)$$

Gdzie  $I_a$  - natężenie prądu anodowego,  $I_{a0}$  - natężenie prądu anodowego przy napięciu  $U_a = 0$ .

Równanie (5) po zlogarytmowaniu ma postać  $y = aU_a$  (6):

$$y = \ln \frac{I_a}{I_{a0}} = -\frac{e}{kT} U_a \quad (6)$$

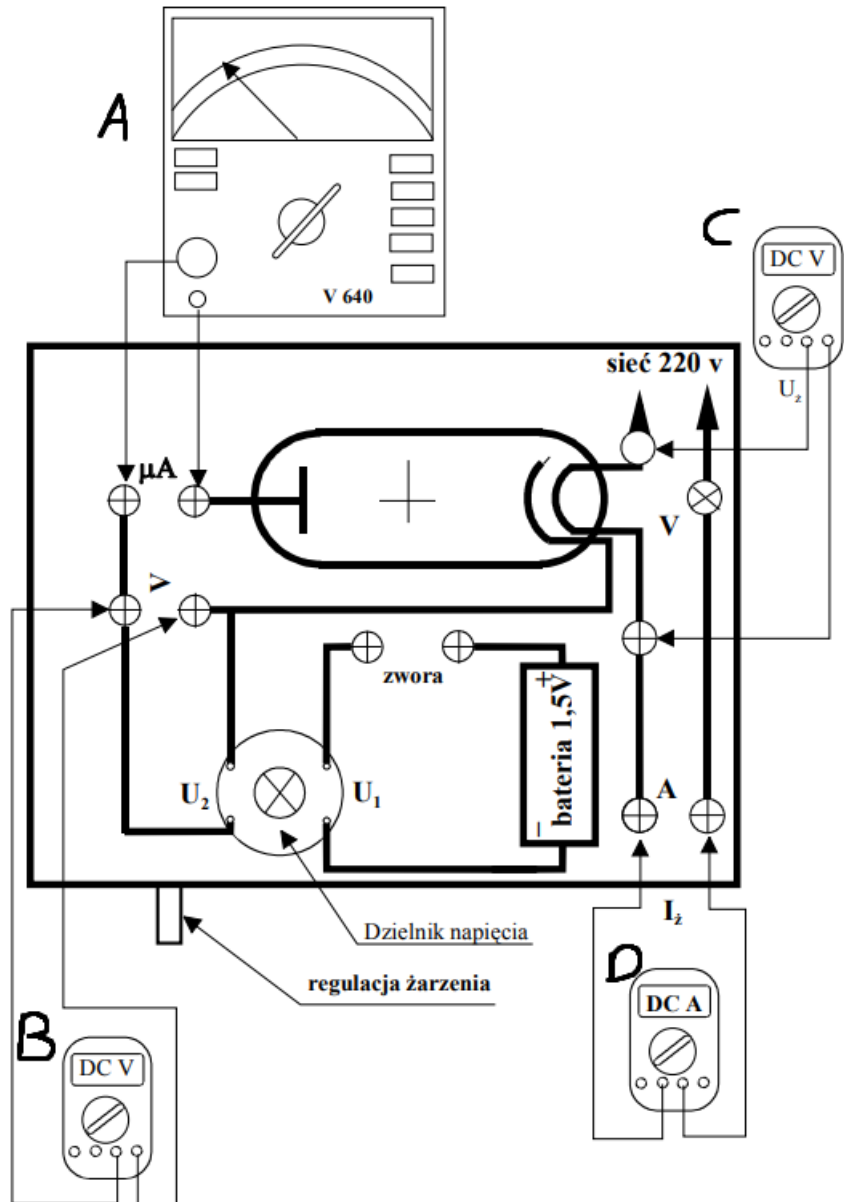
Co daje możliwość wyznaczenia temperatury  $T$  katody w sekcji Opracowanie wyników.

## 2. Metoda przeprowadzenia badań i pomiarów, aparatura

W ćwiczeniu użyto następujących przedmiotów i przyrządów:

- Gotowy układ wymagający podłączenia do niego mierników
- Miernik analogowy uniwersalny
- Trzy mierniki cyfrowe uniwersalne
- Przewody do podłączenia mierników do układu i połączenia zwory

Schemat całego układu pomiarowego przedstawiono na Rysunku 1.



Rysunek 1: Schemat układu pomiarowego [1]

Miernik analogowy oznaczony na Rysunku 1 literą A posłużył do pomiaru natężenia anodowego  $I_a$ . Miernik B został użyty do pomiaru napięcia hamowania  $U_a$ . Mierniki C i D zostały podłączone aby móc obserwować napięcie oraz natężenie prądu na katodzie, ale nie spisywano z nich żadnych wartości.

Najpierw miernik analogowy A ustawiono na zakres  $15\mu\text{A}$  a cyfrowy B na  $2\text{V}$ . Pozostawiając przy zerowym napięciu hamowania regulowanego żarzenie w taki sposób, aby miernik A wskazywał wartość  $I_{a0} = 15\mu\text{A}$ . Po odczekaniu około 5 minut na ustabilizowanie się nowych warunków termodynamicznych w lampie, dokonano 20 pomiarów natężenia  $I_a$  przy 20 zwiększających się wartościach napięcia hamowania  $U_a$ . Potem wyzerowano napięcie hamowania.

Następnie ustawiono zakres miernika analogowego A na  $0,15\text{mA}$  i wyregulowano żarzenie tak, aby

miernik A wskazywał wartość  $I_{a0} = 0,14\text{mA}$ . Po odczekaniu kilku minut dokonano 25 pomiarów natężenia  $I_a$  przy 25 zwiększających się wartościach napięcia hamowania  $U_a$ .

### 3. Wyniki pomiarów

W Tabeli 1 przedstawiono wyniki pomiarów dla dwóch różnych natężień  $I_{a0}$  wraz z niepewnościami.

| Dla $I_{a0} =$            | $15 \mu\text{A}$ |             | Dla $I_{a0} =$ | $0,14 \text{ mA}$ |             |
|---------------------------|------------------|-------------|----------------|-------------------|-------------|
| I ( $\mu\text{A}$ )       | U (V)            | Niep. U (V) | I (mA)         | U (V)             | Niep. U (V) |
| 13.5                      | 0.009            | 0.001       | 0.135          | 0.008             | 0.001       |
| 13.0                      | 0.013            | 0.001       | 0.130          | 0.016             | 0.001       |
| 12.5                      | 0.017            | 0.001       | 0.125          | 0.025             | 0.001       |
| 12.0                      | 0.021            | 0.001       | 0.120          | 0.034             | 0.001       |
| 11.5                      | 0.025            | 0.001       | 0.115          | 0.042             | 0.001       |
| 10.5                      | 0.033            | 0.001       | 0.110          | 0.050             | 0.001       |
| 10.0                      | 0.038            | 0.001       | 0.105          | 0.058             | 0.001       |
| 9.5                       | 0.043            | 0.001       | 0.100          | 0.068             | 0.001       |
| 9.0                       | 0.048            | 0.001       | 0.095          | 0.075             | 0.001       |
| 8.5                       | 0.053            | 0.001       | 0.090          | 0.085             | 0.001       |
| 7.5                       | 0.066            | 0.001       | 0.085          | 0.093             | 0.001       |
| 7.0                       | 0.072            | 0.001       | 0.080          | 0.103             | 0.001       |
| 6.5                       | 0.079            | 0.001       | 0.075          | 0.114             | 0.001       |
| 6.0                       | 0.087            | 0.001       | 0.070          | 0.122             | 0.001       |
| 5.5                       | 0.094            | 0.001       | 0.065          | 0.132             | 0.001       |
| 5.0                       | 0.103            | 0.001       | 0.060          | 0.143             | 0.001       |
| 4.5                       | 0.113            | 0.001       | 0.055          | 0.155             | 0.001       |
| 4.0                       | 0.125            | 0.001       | 0.050          | 0.169             | 0.001       |
| 3.5                       | 0.138            | 0.001       | 0.045          | 0.181             | 0.001       |
| 2.0                       | 0.194            | 0.001       | 0.040          | 0.197             | 0.001       |
| Niep. I ( $\mu\text{A}$ ) | 0.1              |             | 0.035          | 0.212             | 0.001       |
|                           |                  |             | 0.030          | 0.230             | 0.001       |
|                           |                  |             | 0.025          | 0.249             | 0.001       |
|                           |                  |             | 0.020          | 0.275             | 0.001       |
|                           |                  |             | 0.010          | 0.352             | 0.001       |
|                           |                  |             | Niep. I (mA)   | 0.001             |             |

Tabela 1: Wyniki pomiarów wraz z niepewnościami

Niepewność dla natężenia  $I_a$  uzyskano licząc najpierw niepewność wzorcowania (7):

$$\Delta I_a = \frac{1.5 \cdot \text{zakres}}{100} \quad (7)$$

I ostatecznie niepewność dla  $I_a$  to (8):

$$u_{Ia} = \frac{\Delta I_a}{\sqrt{3}} \quad (8)$$

Niepewność dla napięcia  $U_a$  uzyskano licząc najpierw niepewność wzorcowania (9):

$$\Delta U_a = 0.003 \cdot \text{pomiar} + 1 \cdot 0.001 \quad (9)$$

I ostatecznie niepewność dla  $U_a$  to (10):

$$u_{U_a} = \frac{\Delta U_a}{\sqrt{3}} \quad (10)$$

## 4. Opracowanie wyników

W Tabeli 2 przedstawiono obliczone wartości  $\ln \frac{I_a}{I_{a0}}$  z ich niepewnościami oraz wartości napięcia  $U_a$ . Wartości  $\ln \frac{I_a}{I_{a0}}$  zostały zaokrąglone do 3 miejsc po przecinku dla czytelności.

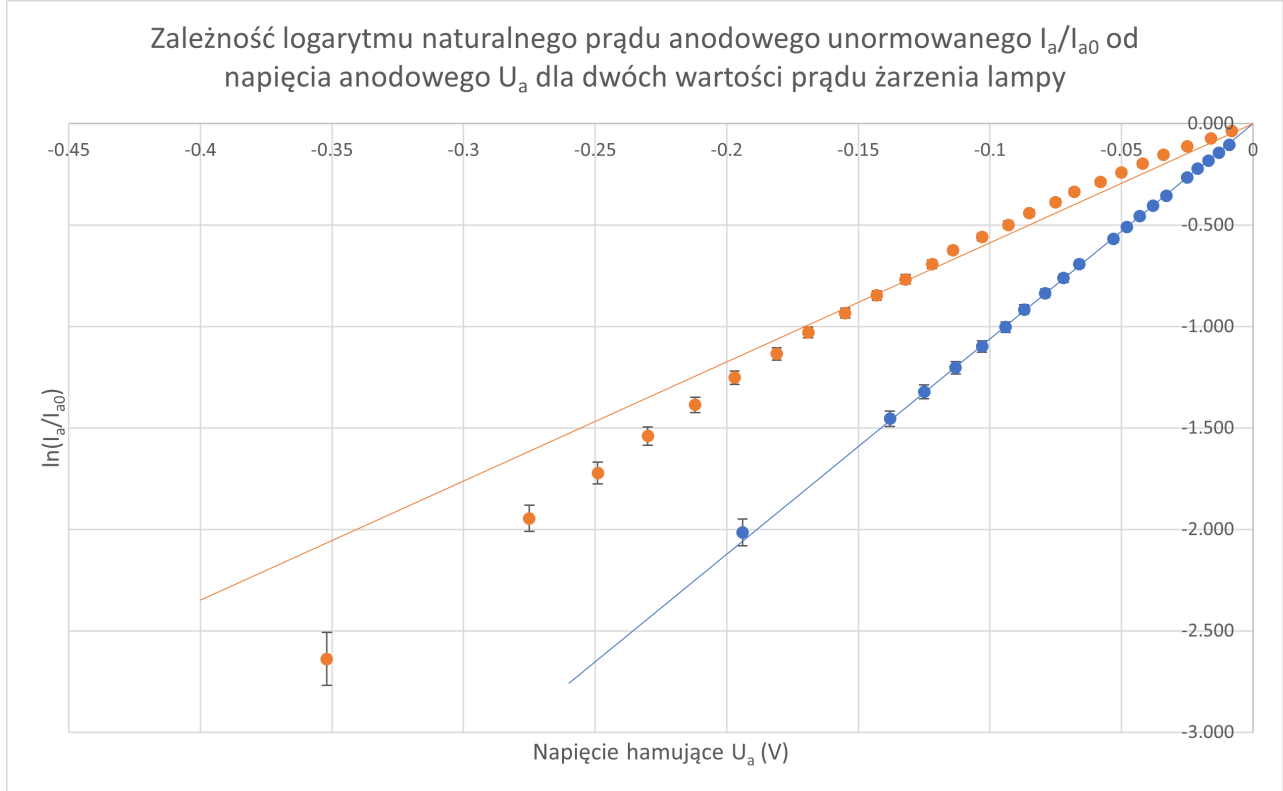
| Niep. ln | $\ln \frac{I_a}{I_{a0}}$ | $U_a$ (V) | Niep. ln | $\ln \frac{I_a}{I_{a0}}$ | $U_a$ (V) |
|----------|--------------------------|-----------|----------|--------------------------|-----------|
| 0.013    | -0.105                   | -0.009    | 0.013    | -0.036                   | -0.008    |
| 0.013    | -0.143                   | -0.013    | 0.014    | -0.074                   | -0.016    |
| 0.014    | -0.182                   | -0.017    | 0.014    | -0.113                   | -0.025    |
| 0.014    | -0.223                   | -0.021    | 0.014    | -0.154                   | -0.034    |
| 0.014    | -0.266                   | -0.025    | 0.015    | -0.197                   | -0.042    |
| 0.015    | -0.357                   | -0.033    | 0.015    | -0.241                   | -0.050    |
| 0.016    | -0.405                   | -0.038    | 0.015    | -0.288                   | -0.058    |
| 0.016    | -0.457                   | -0.043    | 0.016    | -0.336                   | -0.068    |
| 0.017    | -0.511                   | -0.048    | 0.017    | -0.388                   | -0.075    |
| 0.018    | -0.568                   | -0.053    | 0.017    | -0.442                   | -0.085    |
| 0.019    | -0.693                   | -0.066    | 0.018    | -0.499                   | -0.093    |
| 0.020    | -0.762                   | -0.072    | 0.019    | -0.560                   | -0.103    |
| 0.022    | -0.836                   | -0.079    | 0.020    | -0.624                   | -0.114    |
| 0.023    | -0.916                   | -0.087    | 0.021    | -0.693                   | -0.122    |
| 0.025    | -1.003                   | -0.094    | 0.022    | -0.767                   | -0.132    |
| 0.027    | -1.099                   | -0.103    | 0.024    | -0.847                   | -0.143    |
| 0.030    | -1.204                   | -0.113    | 0.025    | -0.934                   | -0.155    |
| 0.034    | -1.322                   | -0.125    | 0.028    | -1.030                   | -0.169    |
| 0.038    | -1.455                   | -0.138    | 0.030    | -1.135                   | -0.181    |
| 0.066    | -2.015                   | -0.194    | 0.034    | -1.253                   | -0.197    |
|          |                          | 0.038     | -1.386   | -0.212                   |           |
|          |                          | 0.044     | -1.540   | -0.230                   |           |
|          |                          | 0.053     | -1.723   | -0.249                   |           |
|          |                          | 0.066     | -1.946   | -0.275                   |           |
|          |                          | 0.130     | -2.639   | -0.352                   |           |

Tabela 2: wartości  $\ln \frac{I_a}{I_{a0}}$  z ich niepewnościami oraz wartości napięcia  $U_a$

Niepewność  $f = \ln \frac{I_a}{I_{a0}}$  uzyskano ze wzoru (11):

$$u(f) = \sqrt{\left(\frac{\partial f}{\partial I_a}\right)^2 \cdot u(I_a)^2 + \left(\frac{\partial f}{\partial I_{a0}}\right)^2 \cdot u(I_{a0})^2} \quad (11)$$

Rysunek 2 przedstawia wartości z Tabeli 2 na wykresie w zależności  $\ln \frac{I_a}{I_{a0}}$  od  $U_a$  dla obydwu wartości prądu żarzenia lampy  $I_{a0}$



Rysunek 2: Wykres zależności  $\ln \frac{I_a}{I_{a0}}$  od  $U_a$  dla dwóch wartości prądu żarzenia lampy

Parametry kierunkowe linii prostych na Rysunku 2 zostały obliczone ze wzoru (12):

$$a = \frac{\sum_{i=1}^N \frac{x_i y_i}{s_y^2}}{\sum_{i=1}^N \frac{x_i^2}{s_y^2}} \quad (12)$$

Gdzie  $x_i$  to wartości napięcia,  $y_i$  to wartości  $\ln \frac{I_a}{I_{a0}}$  a  $s_y$  to niepewność  $\ln \frac{I_a}{I_{a0}}$ . Założono dla uproszczenia że niepewności na osi x nie są znane.

Niepewność tego parametru wynosi (13):

$$u_a = \sqrt{\frac{1}{\sum_{i=1}^N \frac{x_i^2}{s_y^2}}} \quad (13)$$

W takim wypadku parametr  $a$  umożliwia znalezienie temperatury  $T$ , gdyż funkcja liniowa ma postać: (14)

$$y = \ln \frac{I_a}{I_{a0}} = -\frac{e}{kT} U_a \quad (14)$$

I temperaturę  $T$  obliczyć można ze wzoru (15):

$$T = \frac{e}{ak} \quad (15)$$

Gdzie  $e$  - ładunek elementarny,  $k$  - stała Boltzmanna.

Niepewność temperatury (15) można uzyskać z (16):

$$u(T) = \left( \frac{\partial T}{\partial a} \right) \cdot u(a) \quad (16)$$

Wartości te wynoszą więc dla  $I_{a0} = 15\mu A$ :

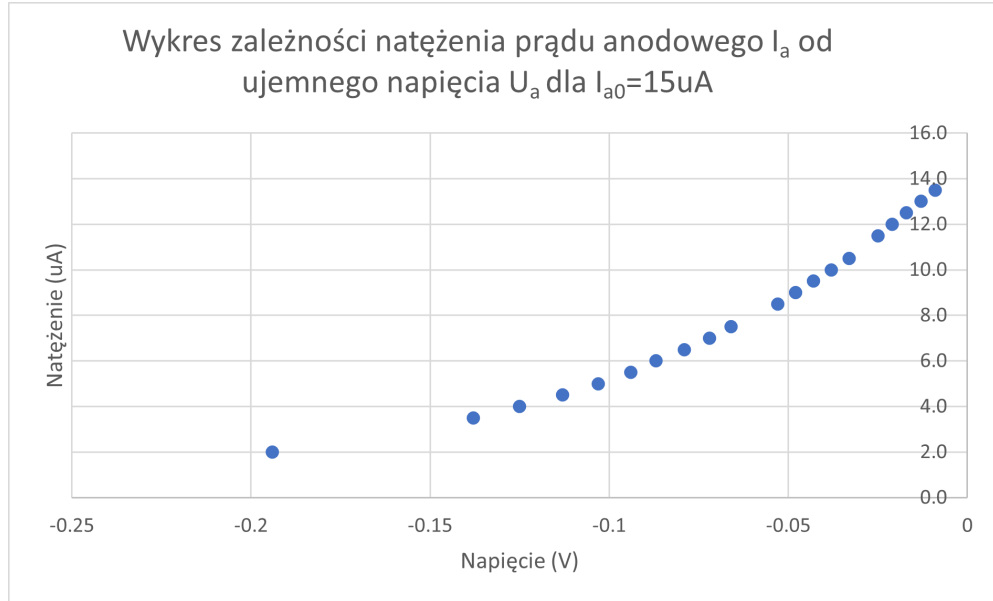
- $a = 10.609$  (0.076)
- $T = 1093.825$  (7.854) K

Oraz dla  $I_{a0} = 0.14mA$ :

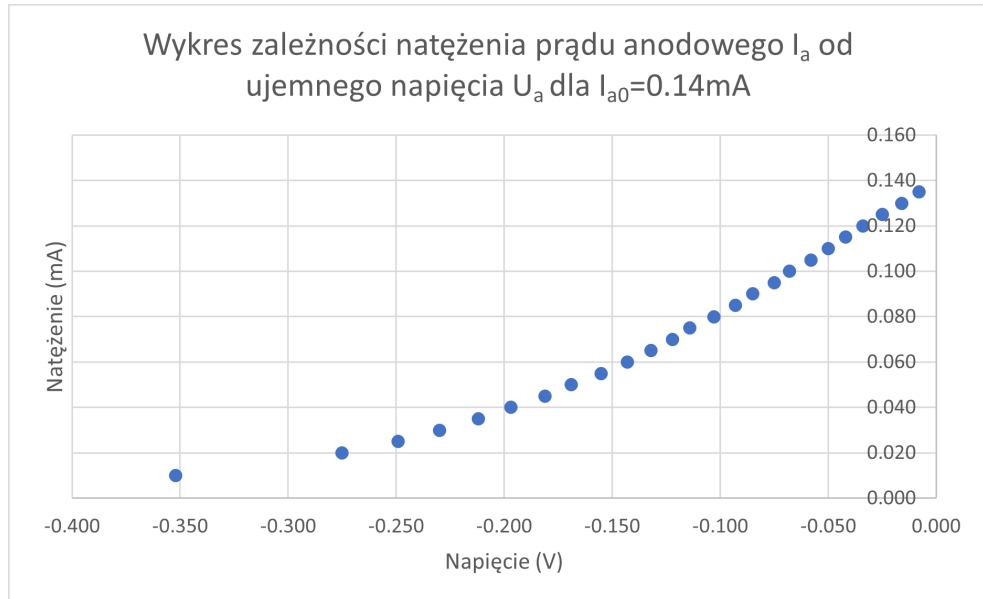
- $a = 5.873$  (0.042)
- $T = 1975.836$  (14.280) K

Zgodnie ze skalą temperatura - kolor w przedziale temperatur od 1000 do 2000 Kelvinów kolor jest pomarańczowy. Uwzględniając że podczas pomiarów zanotowano pomarańczowy kolor grzałki katodowej wartości obliczonych temperatur są odpowiednie.

Na Rysunkach 3 i 4 pokazano wykresy zależności natężenia prądu anodowego od napięcia hamowania.



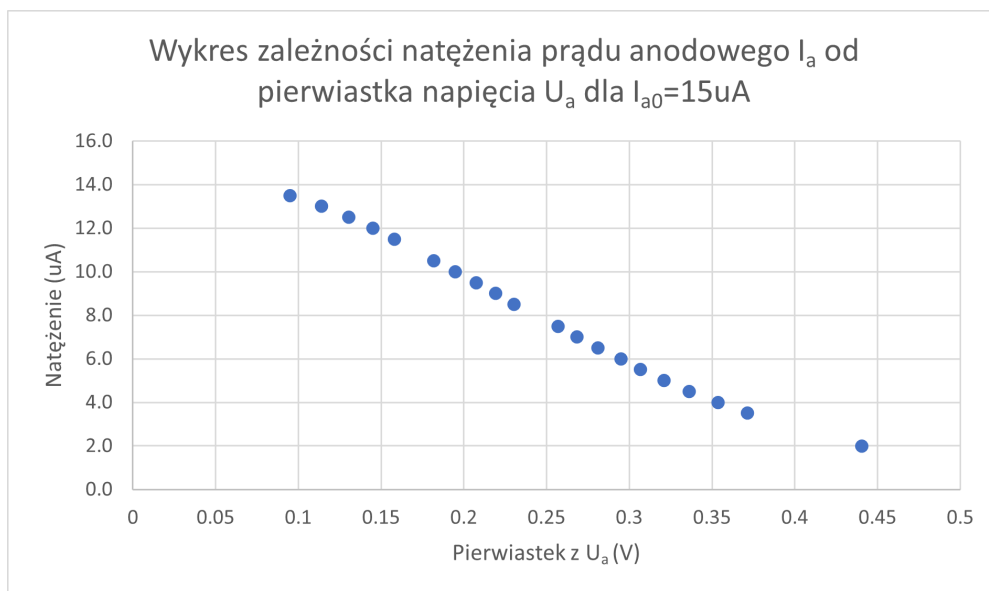
Rysunek 3: Wykres zależności natężenia prądu anodowego  $I_a$  od ujemnego napięcia  $U_a$  dla  $I_{a0}=15\mu A$



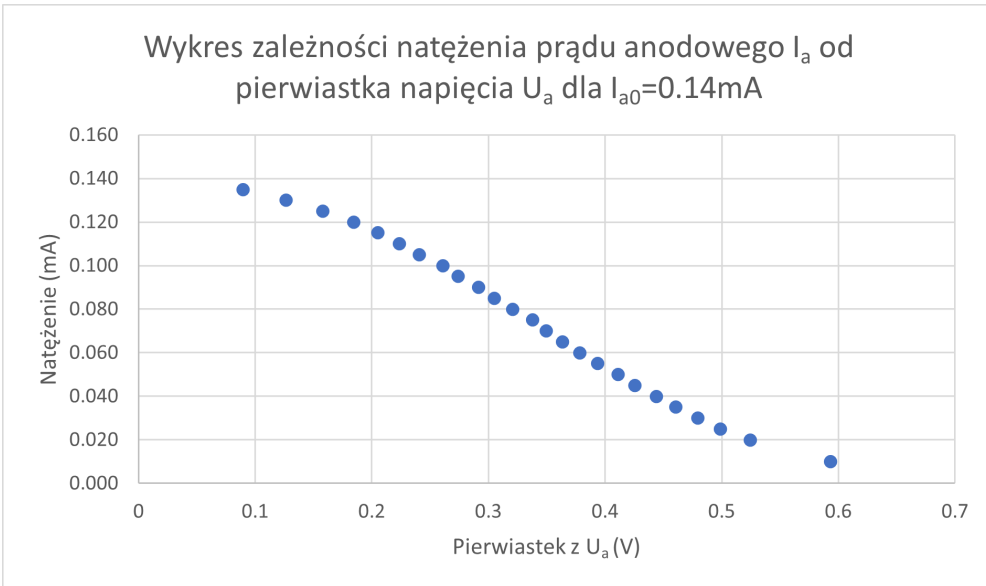
Rysunek 4: Wykres zależności natężenia prądu anodowego  $I_a$  od ujemnego napięcia  $U_a$  dla  $I_{a0}=0.14\text{mA}$

Wykresy na rysunkach 3 i 4 przedstawiają zależność analogiczną do zależności opisanej wzorem (4) czyli funkcji postaci  $y = be^{\frac{x}{c}}$  gdzie  $b$  i  $c$  to pewne stałe. Oznacza to że zastosowanie rozkładu Maxwella do opisu badanych elektronów jest poprawne.

Na Rysunkach 5 i 6 pokazano wykresy zależności natężenia prądu anodowego od pierwiastka napięcia hamowania.



Rysunek 5: Wykres zależności natężenia prądu anodowego  $I_a$  od pierwiastka napięcia  $U_a$  dla  $I_{a0}=15\mu\text{A}$



Rysunek 6: Wykres zależności natężenia prądu anodowego  $I_a$  od pierwiastka napięcia  $U_a$  dla  $I_{a0}=0.14\text{mA}$

Wykresy na Rysunkach 5 i 6 są analogiczne do zależności liczby elektronów o prędkościach spełniających równanie (1) od napięcia hamowania.

#### 4.1. Napięcie kontaktowe

Linia prosta dla  $I_{a0} = 0.14\text{mA}$  na Rysunku 2 od pomiaru siedemnastego przestaje dobrze pokrywać się z punktami na wykresie. Jest to spowodowane występowaniem kontaktowej różnicy potencjałów. Po zastosowaniu manualnej, geometrycznej metody wykreślenia i ekstrapolacji dwóch prostych widać że napięcie kontaktowe znajduje się w przedziale [0.175; 0.15] V.

### 5. Analiza niepewności

Aby obliczyć niepewności wzorcowania wykorzystano klasę miernika analogowego oraz dołączoną dokumentację [2] dla miernika cyfrowego. Nie uwzględniono niepewności eksperymentatora ponieważ napięcie hamowania było ustawiane w taki sposób, aby wskazówka na mierniku analogowym idelanie pokrywała się z przedziałką, więc nie było trudności w odczycie wyniku pomiaru. Dla miernika cyfrowego nie zauważono szczególnych wahań na wyświetlaczu.

### 6. Wnioski i podsumowanie

Celem ćwiczenia było sprawdzenie czy elektrony w zjawisku termoemisji można opisać za pomocą modelu gazu doskonałego, a co za tym idzie za pomocą rozkładu Maxwella. Wykresy na Rysunkach 3, 4 potwierdzają podleganie badanych elektronów zależności opisanej wzorem (4) którą wyprowadzono na podstawie rozkładu Maxwella. Ponadto wykres na Rysunku 2 pokazuje zależności liniowe,

z poprawką na fakt występowania zjawiska kontaktowej różnicy potencjałów. To także potwierdza słuszność zastosowania tego rozkładu.

Drugim celem było wyznaczenie temperatury katody za pomocą zależności  $\ln \frac{I_a}{I_{a0}}$  od  $U_a$ . Zaobserwowane barwy grzałki katody podczas pomiarów odpowiadają barwom temperaturowym dla wyznaczonych temperatur katody, więc otrzymane wyniki są słuszne.

## 7. Bibliografia

[1] Instrukcja do ćwiczenia nr 27 "Badanie właściwości statystycznych elektronów emitowanych z katody lampy próżniowej" Politechnika Warszawska

[2] Dokumentacja - cyfrowy miernik uniwersalny M-3800